

内湾の海水交換に関する考察

名古屋大学

学生員。瀧澤源司

名古屋大学

正会員 足立昭平

1 諸言

伊勢湾、東京湾のような閉鎖性の強い内湾では、外海水と湾内水の交換が非常に悪く、水質は悪化の一途をたどり、いろいろな内湾を比較すると、水質の悪化の程度が異なる。たとえば、伊勢湾と三河湾を比較した場合、三河湾は汚濁負荷量が少ないにもかかわらず、水質低下の割合が大きいことが指摘されている。この一見相反する傾向の原因として、一つには、水深や潮流特性に基づく基礎生産能力の差異によることが報告されている。一方、内湾の特性に基づく、海水交換能力の差異も重要な原因と考えられる。本研究では、後者の立場に立ち、海水交換機構を把握することを目的とし、海水交換率を用いた lump モデルにより、海水交換率の季節的変動を調べ、その変動要因に対し、若干の考察を試みた。

2 海水交換率

海水は、潮流の往復運動により、図-1のⒶ、Ⓑの過程を繰返し、その間に、湾内水と外海水の交換をおこなう。Parker ら (1972)¹⁾ は、Ⓐの過程に注目し、上げ潮時に流入する海水量 (V_F) の中で、はじめて湾内に入れる外海水の量 (V_E) の占める割合 $\gamma_E = V_E/V_F$ を海水交換率と定義した。一方、相井 (1977)²⁾ は、Ⓑの過程に注目し、下げ潮時の流出量 (V_E) のうち、はじめて湾外へ流出する内湾水の量 (V_F) を、 $\gamma_F = V_F/V_E$ と定義した。以上の2つの定義は、下げ潮時の平均濃度 (C_E)、上げ潮時の平均濃度 (C_F)、外海水の濃度 (C_0)、湾内水の濃度 (C_B) を用いれば、次のようになります。

$$\gamma_E = \frac{C_F - C_E}{C_0 - C_E} \quad (1) \quad \gamma_F = \frac{C_F - C_E}{C_F - C_B} \quad (2)$$

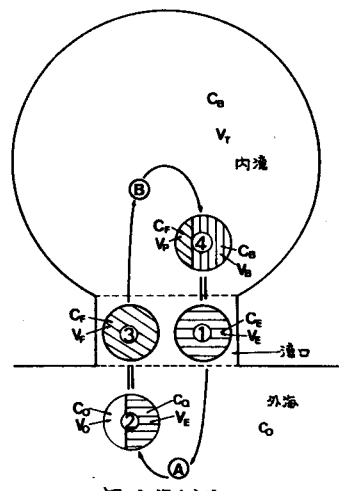


図-1 海水交換モデル

3 海水交換モデル

著者は、海水交換率の季節的変動を調べるために、上記の海水交換率の定義のタイムスケールを拡張し、新しく n 潮汐間（1ヶ月程度）の海水交換率を、次のようく定義し、モデルをつくる。

$$\bar{\gamma}_E = \frac{\sum_{i=1}^n V_{Ei}}{\sum_{i=1}^n V_{Fi}} = \frac{\bar{C}_F - \bar{C}_E}{\bar{C}_0 - \bar{C}_E} \quad (3) \quad \bar{\gamma}_F = \frac{\sum_{i=1}^n V_{Fi}}{\sum_{i=1}^n V_{Ei}} = \frac{\bar{C}_F - \bar{C}_E}{\bar{C}_F - \bar{C}_B} \quad (4)$$

ここで、 \bar{C}_F 、 \bar{C}_E 、 \bar{C}_0 、 \bar{C}_B は、それぞれ、 n 潮汐間にわたる、上げ潮時、下げ潮時の平均濃度、外海水、湾内水の平均濃度である。 $\bar{\gamma}_E$ は、 n 潮汐目の海水交換率 γ_{Ei} に、上げ潮時の流量 (V_{Fi}) の重みをかけて平均化したものと意味する。(3)、(4)式は、 n 潮汐間の湾内の水の收支式、物質（塩分）の収

支式から、湾内の物質の收支を表すモデルは、次のようになる。

$$\nabla_t \Delta C_B = \left(\frac{\bar{Y}_E \bar{Y}_F}{\bar{Y}_E + \bar{Y}_F - \bar{Y}_{EF}} \right) \left(\frac{\bar{V}_I}{\bar{V}_I} \right) (\bar{C}_o - \bar{C}_B) - \left(\frac{\bar{V}_R}{\bar{V}_I} \right) \left\{ \left(\frac{\bar{Y}_E - \bar{Y}_F}{\bar{Y}_E + \bar{Y}_F - \bar{Y}_{EF}} \right) \frac{(\bar{C}_o - \bar{C}_B)}{2} + \frac{\bar{C}_o + \bar{C}_B}{2} \right\} \quad (5)$$

\bar{Y}_I は、内湾の体積、 $\bar{V}_I = (V_E + V_F)/2$ 、 \bar{V}_R は淡水供給量である。このモデルの実際問題への適用にあたり、海水交換率 \bar{Y}_E 、 \bar{Y}_F の値が問題となる為、以下では、その特性を解析した。

4 海水交換率の解析

海洋要素としての塩分のデーターは、1950～1973年までの約26000個の資料に基づき、宇野木ら³⁾によって整理されたものである。

図-2は、解析に用いた伊勢湾、三河湾のBoxの区分を示す。Box1を伊勢湾、Box2を三河湾、Box4を外海と考えたときの海水交換を調べた。

図-3、図-4に、伊勢湾と三河湾について、月別の海水交換率の変化曲線を示した。伊勢湾、三河湾ともに、ほぼ $\bar{Y}_E = \bar{Y}_F$ の直線上を移動する \bar{Y} 曲線であり、季節により大きく変動している。また、両湾とも夏季が大きく、冬季が小さいパターンがある。図中の太線破線は、年平均の海水交換率を示す \bar{Y} 曲線であり、三河湾は、伊勢湾に比べ海水交換率が小さく、海水交換が悪いことがわかる。

季節変動の要因としては、成層、淡水供給量、恒流系等の季節変化が考えられるが、特に、淡水供給量と海水交換率の関係について述べる。図-5は、伊勢湾と三河湾の $\bar{Y}_E = \bar{Y}_F$ 曲線上の $\bar{Y}_E = \bar{Y}_F$ の値と、淡水供給量と平均交流量の比($\frac{\bar{V}_R}{\bar{V}_I}$)という無次元パラメータ間の相関を調べたものであり、(1)両者の間にKは、強い相関がある。(2)伊勢湾は、潮流の交流量に対する、淡水供給量(木曽三川)の割合が大きく、これが、伊勢湾の海水交換に大きく寄与している。ことが判明した。成層、恒流系との関係についても検討中であるが、今後も、海水交換現象に支配的で、無次元パラメータ間の関係を明確にし、量的で、海水交換機構を把握していくことが大切と思われる。

- 参考文献 1) D.S. Parker, O.P. Norris and A.W. Nelson; Proc of ASCE, 98 NO. SA2, 305～323 (1972)
 2) 梅井誠; 海洋学会春季大会講演要旨集, 96～97 (1977)
 3) 宇野木早苗、岡野登、岸野元彰; 伊勢湾における汚濁物質の循環機構に関する調査報告書、産業公害防止協会, 31～130 (1974)

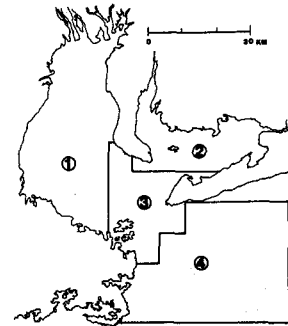


図-2 ボックス区分

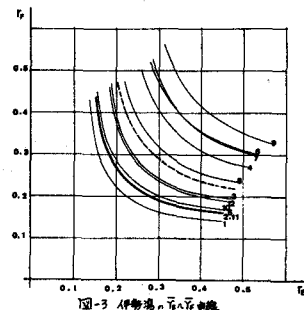
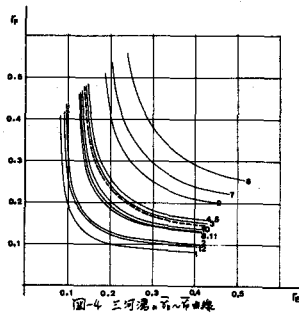
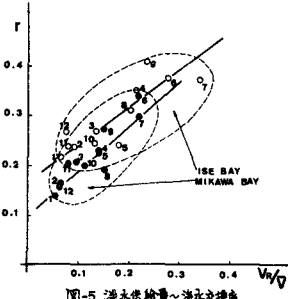
図-3 伊勢湾の月別 \bar{Y} 曲線図-4 三河湾の月別 \bar{Y} 曲線

図-5 淡水供給量～海水交換率